

Catálogos de litotipos empleados en el Patrimonio Inmueble Andaluz



Rosario Villegas Sánchez
*Departamento de análisis
 Instituto Andaluz del
 Patrimonio Histórico*

La piedra es un material empleado con profusión en el Patrimonio Inmueble, en general, y en nuestra comunidad en particular. El estado de alteración de los edificios depende en gran parte de las características de los materiales utilizados, lo que se denomina factores de alteración intrínsecos. Cuando se acomete una intervención de conservación-restauración, es imprescindible conocer los materiales sobre los que se va a actuar; sus propiedades, las alteraciones que presentan y su posible respuesta a los tratamientos que se vayan a realizar.

En un edificio se encuentran dos grupos de materiales inorgánicos diferentes; aquéllos manufacturados: ladrillos y otras cerámicas, morteros, revestimientos, etc., y los no preparados, la piedra. En el caso de los primeros, su composición y, por tanto, sus características pueden variar apreciablemente de un edificio a otro e incluso en distintas zonas de un mismo edificio, por lo que deben ser estudiados específicamente en cada caso.

Por el contrario, la piedra de una determinada cantera mantiene similares características (dentro de ciertos límites) en todos los edificios donde se haya utilizado; es-

tas características contribuyen a explicar, en gran medida, su comportamiento y el estado de conservación y los indicadores de alteración que presenta. Por ello, sí que es posible utilizar los datos obtenidos en un edificio o en la propia cantera como información de partida para aquellos otros donde se encuentren los mismos litotipos.

Diversos equipos de investigación, especialmente de las Universidades y más recientemente del I.A.PH., se vienen dedicando desde hace bastantes años, a estudiar los distintos materiales pétreos empleados en el Patrimonio Inmuble andaluz, cubriendo entre todos ellos prácticamente todas las provincias de la Comunidad y una gran parte de los monumentos existentes.

Sin embargo, los resultados de estas investigaciones se difunden en círculos científicos relativamente restringidos y muchas veces no llegan a los que deberían ser sus usuarios principales, los arquitectos y restauradores encargados de llevar a cabo proyectos de conservación-restauración de los edificios. De esta forma, cuando se va a llevar a cabo la intervención, en ocasiones se duplican los estudios analíticos de los materiales y otras veces no se llegan a realizar estos análisis.

Para intentar paliar, al menos en parte, esta situación, el I.A.PH. ha tomado la iniciativa de recopilar y publicar todos los datos disponibles de materiales pétreos empleados en nuestra comunidad y procedentes, la mayoría de ellos, también de canteras de la región. Se ha elaborado una ficha, lo más amplia posible, en la que se recogen las características más significativas de cada litotipo, además de su procedencia y algunos ejemplos de edificios donde se haya utilizado. En la primera parte se ha utilizado la propuesta de descripción petrográfica que aparece en este mismo número; los métodos usados para la determinación de las restantes características se irán publicando dentro del Programa de Normalización de Estudios Previos que tiene en marcha el I.A.PH.

En esta fase han participado activamente, junto con el Departamento de Análisis del Centro de Intervención, el Departamento de Mineralogía y Petrología de la Universidad de Granada y el Departamento de Ingeniería Química y Ambiental de la Universidad de Sevilla. Los materiales pétreos cuyas características se van a ir publicando periódicamente son fundamentalmente los estudiados por estos tres grupos, pero nos

gustaría recibir aportaciones de otros investigadores con los datos correspondientes a las piedras sobre las cuales hayan trabajado.

La ficha se estructura en forma de tablas, que pueden utilizarse para una o más variedades de un mismo litotipo. En la primera parte se recogen las características mineralógico-petrográficas y la composición química; a continuación las propiedades físicas y mecánicas; en tercer lugar el comportamiento hídrico en forma de gráficas de absorción y desorción de agua, junto con los valores numéricos. Por último, se incluyen unas consideraciones muy resumidas sobre el comportamiento del material (o de las diversas variedades), y fotografías de microscopía óptica y del aspecto macroscópico y alteraciones características de la piedra.

Los datos recogidos en las fichas que se publican en este número y posteriores proceden de trabajos de investigación y/o Tesis doctorales en los que han participado los siguientes investigadores:

UNIVERSIDAD DE GRANADA

Eduardo Sebastián Pardo
Carlos Rodríguez Navarro
Mª José de la Torre López
Olga Cazalla Vázquez

UNIVERSIDAD DE SEVILLA

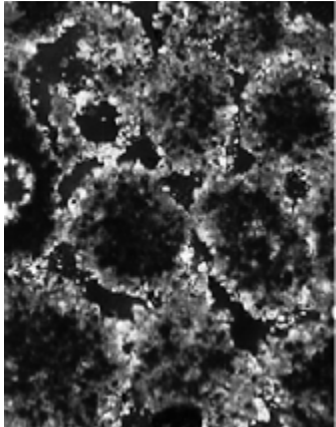
José Francisco Vale Parapar
Manuel Alcalde Moreno
Miguel Angel Bello López
Juan Luis Pérez Bernal

INSTITUTO ANDALUZ DEL PATRIMONIO HISTÓRICO

Rosario Villegas Sánchez
Jesús Espinosa Gaitán
Esther Ontiveros Ortega
Francisco Gutiérrez Montero
Lourdes Martín García

Agradecemos su participación en la preparación del presente Catálogo.

DESCRIPCIÓN TEXTURAL-MICROSCÓPICA	
MINERALOGÍA (%)	Dolomita (90%), Cuarzo (8 %), Calcita (<5%). Resultados obtenidos mediante Difracción de Rayos X y Microscopía óptica.
ALOQUÍMICOS (%)	<10% del total de los componentes. Al tratarse de una dolomía de sustitución lo que se observan son las "sombraS" de ciertos aloquímicos, que probablemente en su origen aparecerían en mayor proporción. De los identificables la mayoría son <i>Bioclastos</i> : Foraminíferos (globijerinas y miliolitos), Briozos, Algas, y escasos Lamelibranquios.
ORTOQUÍMICOS (%)	>75%, considerando la dolomitización en nódulos de tamaño micítico. <i>Micrita</i> (>70%): distribuida fundamentalmente como nódulos de distribución heterogénea . <i>Cemento</i> (<5%): syntaxial, muy escaso, bordeando las sombras y nódulos de micrita
TERRIGENOS (%)	< 10% del total de los componentes <i>Cuarzo</i> en su totalidad
ASPECTOS TEXTURALES A. <i>Granulometría</i>	
LITOTIPO	Dolomítico.
NOMBRE Y SITUACIÓN DE LA CANTERA	San Marcos, al noreste de Almería. Existe otra posible cantera de extracción en el denominado Rincón de San Roque, tras el cerrillo del hombre.
FORMACIÓN GEOLOGICA	Mantos Inferiores del Complejo Alpujárride
AMBIENTE DEPOSICIONAL	Cuenca Marina
EDAD	Trías
EJEMPLOS EN EDIFICIOS	Catedral de Almería.
MORFOLOGÍAS DE ALTERACIÓN	Picados, alveolización y cavernizaciones en casos extremos
NOMBRE COMERCIAL	Piedra de Almería
B. <i>Morfología</i>	
ESPAZOS VACÍOS	POROS <i>Porosidad</i> : alta >20%
ESTRUCTURA	<i>Tipos morfológicos</i> : intergranular, intragránular, Móldica (escasa) y canalizada. <i>Relleno poros</i> : ocasionalmente yeso, y en la mayoría una fina película microespantica
TAMAÑO MEDIO DE GRANO	FINO
TEXTURA GLOBAL	Mixta: Bioclastica-Cristalina.
FRACTURAS/FISURAS	No observadas
OBSERVACIONES	Aparecen inclusiones muy oscuras, casi negras distribuidas heterogéneamente por toda la roca
C. <i>Empaquetamiento</i>	
MICROFISURAS	no observadas.
CLASIFICACIÓN	
FOLK	Dolomía de sustitución con "SombraS" de aloquímicos: Dolomía Biogénica Afanocristalina
DUNHAM	Wackstone

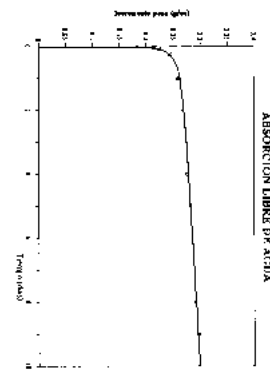
PIEDRA DE ALMERÍA	
CARACTERÍSTICAS MINERALÓGICO-PETROGRÁFICAS Y QUÍMICAS	
	
	
DESCRIPCIÓN MACROSCÓPICA	
COLOR	Dos tipos, desde crema clara hasta amarillo, depende del contenido en óxidos de hierro.
ESTRUCTURA	Homogénea
TAMAÑO MEDIO DE GRANO	Fino
TEXTURA GLOBAL	Mixta: Bioclastica-Cristalina.
FRACTURAS/FISURAS	No observadas
OBSERVACIONES	Aparecen inclusiones muy oscuras, casi negras distribuidas heterogéneamente por toda la roca

COMPORTAMIENTO HÍDRICO (Gráficos de absorción de agua por inmersión expresado en g/cm³ respecto al tiempo, desorción libre de agua expresados en mg/cm² respecto al tiempo, y succión capilar expresada como g/cm² respecto de la raíz cuadrada del tiempo). Datos de velocidad de absorción ($V_{abs} = 11 \text{ g/cm}^3\text{h}$), velocidad de desorción ($V_{des} = 4.17 \text{ mg}/\text{hcm}^2$), contenido crítico de agua (144 mg/cm³), coeficiente de succión capilar ($V_{cap} = 0.0139 \text{ mg}/\text{cm}^2\text{s}^{1/2}$)

CARACTÉRISTICAS FÍSICO-MECÁNICAS

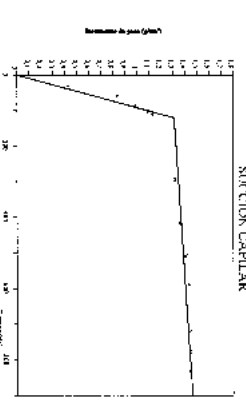
POROMETRÍA (Valores medios de porosimetría calculados mediante inyección de Hg y saturación de agua en vacío. El tamaño de acceso de poro es unimodal con un máximo de frecuencia de 10 μm)

DENSIDAD (gr/cm ³)	POROSIDAD Hg (%)	POROSIDAD H ₂ O (%)	AREA ESPECÍFICA (m ² /gr)
1.65	35.6	44	6.17



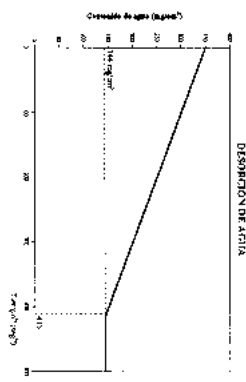
ULTRASONIDO (Intervalo de variación y valor medio de velocidad de propagación de ondas longitudinales, en m/s, de las medidas realizadas en las direcciones ortogonales del espacio)

3274 ÷ 2847
3321



VALORES DE RESISTENCIA MECÁNICA (Intervalo de variación y valores medios de resistencia a la compresión, en Kg/cm², y dureza superficial, medida como resistencia a la penetración por el ensayo Rockwell)

Resistencia a la compresión	Dureza superficial
128÷68	44 ÷ -27



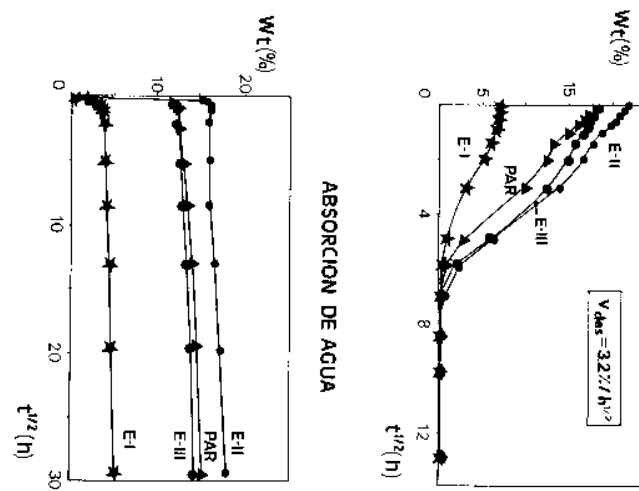
CONCLUSIONES. Se trata de una roca compuesta mayoritariamente por dolomita y cuarzo con un pequeño porcentaje de calcita y trazas de yeso y óxidos de hierro, con muy alta porosidad intra e intercristalica, velocidad de propagación de pulsos ultrasónicos baja, resistencia a la compresión y dureza superficial medias, con valores relativamente heterogéneo. En cuanto a su comportamiento hidráulico, tiene velocidad de absorción libre de agua y de ascenso capilar medianas; llega a saturarse en algunos minutos, el secado es lento con un contenido crítico de agua alto.

DESCRIPCIÓN TEXTURAL-MICROSCÓPICA	
MINERALOGÍA (%)	Calcita (95%); accessorios (5%) = Calcita como mayoritario Cuarzo, Micas (biotita y moscovita) y Feldespatos como minerales accesorios.
ALOQUÍMICOS (%)	Algias rojas, conchas de bivalvos, serpulídos, equinodermos, briozos y foraminíferos bentónico
ORTOQUÍMICOS (%)	Cemento de dos generaciones; micrítico o microespártico y eapartítico
TERRÍGENOS (%)	Cuarzo, feldespatos, micas y fragmentos de micosquistos
ASPECTOS TEXTURALES	
ESPAZIOS VACÍOS	POROS Porosidad: alta >20% Tipos morfológicos de poros: Intercástica e intracástica
ESPACIOS VACÍOS	MICROFISURAS: no observadas.
CLASIFICACIÓN	
FOLK	Biocalcarenita (subtipos de la Escritana) y biocalcitúdita (subtipo PAR)
DUNHAM	Wackestone

PIEDRA DE SANTA PUDIA (Granada)	
CARACTERÍSTICAS MINERALÓGICO-PETROGRÁFICAS Y QUÍMICAS	
LITOTIPO	Calcareta bioclastica.
NOMBRE Y SITUACIÓN DE LA CANTERA	La Escribana (subtipos E-1, E-2 y E-3) y las Parideras (subtipo PAR). SW de la depresión de Granada. Término municipal de Escúzar (Cortijo de Sta. Pudia).
FORMACIÓN GEOLÓGICA	Zonas internas de las Cordilleras Béticas.
CUENCA INTRAMONTAÑOSA DE GRANADA.	Cuenca intramontañosa de Granada.
ASPECTOS GENERALES	
AMBIENTE DEPOSICIONAL	Medio Marino Somero
EDAD	Tortoniano Inferior
EJEMPLOS EN EDIFICIOS	En sillares, pináculos, estatuas, etc en la Catedral, Monasterio de S. Jerónimo, etc.
MORFOLOGÍAS DE ALTERACIÓN	Afenizaciones, alveolizaciones, desplazados, descamaciones
NOMBRE COMERCIAL	Biocalcarenita de Santa Pudia o Piedra Fría.
DESCRIPCIÓN MACROSCÓPICA	
COLOR	De blanco a amarillo-naranja
ESTRUCTURA	Heterogénea
TAMAÑO MEDIO DE GRANO	Varia de arenita (en los subtipos E-1, E-2, E-3) a rudita (subtipo PAR)
TEXTURA GLOBAL	Equigranular
FRACTURAS/FISURAS	Organogena No importantes
OBSERVACIONES	Bajo grado de cementación

COMPORTAMIENTO HÍDRICO (Gráficos de absorción libre de agua y desorción libre de agua expresados en Wt (%) en peso) respecto a la raíz cuadrada de ten horas y succión capilar expresada como altura en cm respecto de la raíz cuadrada de ten horas). Datos de velocidad de absorción ($V_{abs} = 6.4 \text{ \%}/\text{h}^{1/2}$), velocidad de desorción ($V_{des} = 3.2 \text{ \%}/\text{h}^{1/2}$), velocidad de capilaridad ($V_{cap} = 19.6 \text{ cm}/\text{h}^{1/2}$) y coeficiente de succión capilar ($C^{sc} = 3.87 \text{ gr/cm}^2\text{h}^{1/2}$); referidos al subtipo E-1.

CONCLUSIONES: Se trata de una roca compuesta mayoritariamente por calcita que contiene mínimas proporciones de cuarzo y minerales de la arcilla; con alta porosidad intra e interclástica, velocidad de propagación de pulsos ultrasónicos baja, índice de anisotropía textural bajo, escasa resistencia mecánica que también confirma una ligera anisotropía. En cuanto a su comportamiento hidrónico tiene alta velocidad de succión, de absorción libre de agua y de ascenso capilar; en pocos minutos pueden llegar a satuararse, el secado es lento. Existen marcadas diferencias entre los diferentes subtipos, se puede concluir diciendo que el más duro y compacto es el subtipo E-1 y el más poroso y alterable la E-2.



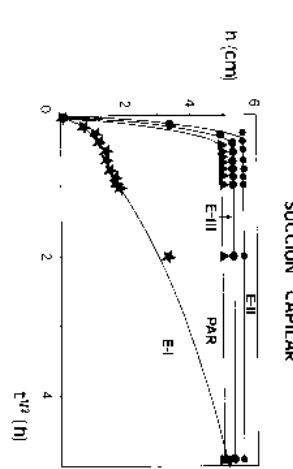
ULTRASONIDO (Intervalo de variación y valores medios de velocidad de propagación de ondas longitudinales en m/s, según tres direcciones ortogonales del espacio, referidas al plano de sedimentación "P.S.")

	$V_{L1} (\perp P.S.)$	$V_{L2} (\parallel P.S.)$	$V_{L3} (\perp P.S.)$
E-1	2957-3643	3130-3938	3013-3805
E-2	2586-2750	2764-2896	2605-2768
E-3	2658	2816	2669
PAR	2907-3194	2945-3454	2934-3238
	3043	3150	3069
	3054-3542	3564-3699	3420-3617
	3324	3645	3537

VALORES DE RESISTENCIA MECÁNICA (Intervalo de variación y valores medios de esfuerzos de compresión, tracción y flexión, según tres planos ortogonales referidos al plano de sedimentación "P.S.", en Kg/cm²)

	$\sigma(\perp P.S.)$	$\sigma(\parallel P.S.)$	$\sigma(\perp P.S.)$	$\sigma(\parallel P.S.)$	$\sigma(\parallel P.S.)$
E-1	148-202	128-176	137-165	124-21.8	10.9-16.4
E-2	171	156	149	16.0	13.5
PAR	91-171	98-146	92-159	9.2-14.5	9.2-14.3
	136	124	122	11.2	10.8
E-3	125-200	105-186	108-178	9.7-14.7	9.7-13.5
	160	147	140	12.0	11.6
PAR	144-180	95-112	67-84	12.7-23.1	12.5-21.0
	158	101	74	16.7	16.4

DESORCIÓN DE AGUA



CARACTERÍSTICAS FÍSICO-MECÁNICAS

POROMETRÍA (Valores medios de porosimetría calculados mediante inyección de Hg y saturación de agua en vacío. El tamaño de acceso de poro es unimodal con un máximo de frecuencia de 10 μm)

	DENSIDAD (gr/cm ³)	POROSIDAD Hg (%)	POROSIDAD H ₂ O (%)	AREA ESPECÍFICA (m ² /gr)
E-1	2.14	17.7	30	1.26
E-2	1.64	31.2	40	0.87
E-3	1.77	24.6	33	0.94
PAR	1.75	25.2	36	0.53

ULTRASONIDO (Intervalo de variación y valores medios de velocidad de propagación de ondas longitudinales en m/s, según tres direcciones ortogonales del espacio, referidas al plano de sedimentación "P.S.")

	$V_{L1} (\perp P.S.)$	$V_{L2} (\parallel P.S.)$	$V_{L3} (\perp P.S.)$
E-1	2957-3643	3130-3938	3013-3805
E-2	2586-2750	2764-2896	2605-2768
E-3	2658	2816	2669
PAR	2907-3194	2945-3454	2934-3238
	3043	3150	3069
	3054-3542	3564-3699	3420-3617
	3324	3645	3537

VALORES DE RESISTENCIA MECÁNICA (Intervalo de variación y valores medios de esfuerzos de compresión, tracción y flexión, según tres planos ortogonales referidos al plano de sedimentación "P.S.", en Kg/cm²)

	$\sigma(\perp P.S.)$	$\sigma(\parallel P.S.)$	$\sigma(\perp P.S.)$	$\sigma(\parallel P.S.)$	$\sigma(\parallel P.S.)$
E-1	148-202	128-176	137-165	124-21.8	10.9-16.4
E-2	171	156	149	16.0	13.5
PAR	91-171	98-146	92-159	9.2-14.5	9.2-14.3
	136	124	122	11.2	10.8
E-3	125-200	105-186	108-178	9.7-14.7	9.7-13.5
	160	147	140	12.0	11.6
PAR	144-180	95-112	67-84	12.7-23.1	12.5-21.0
	158	101	74	16.7	16.4

SUCCIÓN CAPILAR